

Analisis *Spring-back* dan *Spring-go* pada Variasi Sudut V-Dies Bending Menggunakan Material Baja Lembaran SGCC Galvanized

Analysis of Spring-back and Spring-go on Variation of V-Dies Bending Angle Using Galvanized SGCC Steel Sheet

Khoirudin^{1*}, Sukarman¹, Siswanto¹, Nana Rahdiana², Ade suhara²

¹Depatnment of Mechanical Engineering, Faculty of Engineering, Universitas Buana Perjuangan Karawang, Jawa Barat Indonesia, 41361

²Department of Industrial Engineering, Faculty of Engineering, Universitas Buana Perjuangan Karawang, Jawa Barat Indonesia, 41361

ABSTRAK

Penelitian ini membahas tentang fenomena *spring-back* dan *spring-go* pada proses *bending kinematic forming* menggunakan *V-bending dies* dan material *SGCC galvanized steel sheet* (JIS G 3302). Selama proses *bending*, lapisan seng pada permukaan baja galvanis tidak boleh rusak. Lapisan seng pada baja lembaran galvanis akan berpengaruh pada proses pembentukan material (metal forming process). Penelitian ini menggunakan rancangan eksperimen dengan empat variabel *input* yaitu bukaan *v-die bending* L (mm), sudut *punch* (*punch angle*), kecepatan *punch* (*punch speed*), dan gaya tekuk (*force bending*). *Spring-back* optimum didapatkan pada bukaan *v-die bending* 35 mm, sudut *punch* 40°, kecepatan *punch* 30 mm/menit, dan gaya *bending* 7500 N didapatkan *spring-back degree* terkecil 0,42°. Semetara itu *Spring-go* optimum didapatkan pada bukaan *v-die bending* 30 mm, sudut *punch* 50°, kecepatan *punch* 40 mm/menit, dan gaya *bending* 7000 N didapatkan *spring-go degree* terkecil 1,0°.

Kata Kunci: Bending Force, Spring-back, Spring-go, V-dies bending, Work bending

ABSTRACT

The phenomenon of spring-back and spring-go in the bending kinematic forming process using V-bending dies and SGCC galvanized steel sheet (JIS G 3302) material is discussed in this study. During the bending process, the zinc layer on the surface of the galvanized steel should not be damaged. The zinc coating on galvanized sheet steel will have an impact on the metal forming process. An experimental design is used in this study, with four input variables such as v-die bending opening L (mm), punch angle (degree), punch speed (punch speed), and bending force (N). The optimum spring-back is obtained with a v-die bending opening of 35 mm, a punch angle of 40°, a 30 mm/minute punch speed, and a bending force of 7500 N. The smallest degree of spring-back was achieved at 0.42°. Meanwhile, the optimum spring-go is obtained at a v-die opening of 30 mm, punch angle of 50°, punch speed of 40 mm/min, and bending force of 7000 N. The smallest degree of spring-go was achieved at 1.0°

Keywords: Bending force, Spring-back, Spring-go, V-dies bending, Work bending

Article information:

- Submitted: 26/07/2022
- Revised: 27/07/2022
- Accepted: 28/07/2022

Correspondent

Authors:

*✉:
khoirudin@ubpkarawang.ac.id

Type of article:

- Research papers
- Review papers

1. PENDAHULUAN

Baja lembaran galvanish merupakan adalah baja lembaran (*sheet metal*) yang dilapisi dengan seng cair (Zn) sehingga memiliki ketahanan korosi yang baik [1]. Baja lembaran galvanish banyak digunakan pada industri *automotive* [2]. Proses *bending* menggunakan material baja galvanis memerlukan parameter *bending* yang harus diperhatikan. Hal ini karena adanya lapisan *zinc* pada permukaan baja galvanish sehingga harus dipastikan bahwa selama proses *bending* tidak merusaknya.

Teknologi pembentukan logam (*metal forming*) adalah salah satu teknologi paling awal yang dikembangkan dalam industri manufaktur [3]. Pada proses *bending*, tegangan yang diberikan melewati batas elastisitas bahan lembaran, belum melewati tegangan luluhan. Pada proses *bending* pada sheet metal (lembaran logam), *spring-back* dan *spring-go* merupakan issue yang paling menonjol. *Spring-back* dan *spring-go*, mencegah produk memperoleh ukuran dan presisi yang diinginkan, sehingga meningkatkan waktu yang dihabiskan untuk metode coba-coba dan menambah konsumsi material [4]. *Spring-back* didefinisikan sebagai perubahan sudut tekukan karena pemulihan elastis setelah pembebahan pada proses pembentukan dihilangkan [5]. Fenomena *spring-back* dalam proses *bending* memberikan kontribusi waktu setup yang relative besar [6]. *Spring-back* merupakan masalah fisik yang kompleks dan nilainya dipengaruhi oleh deformasi alami suatu komponen/benda kerja [7].

Beberapa penelitian tentang proses *bending* dan fenomena *spring-back* material pada proses metal forming telah dilakukan oleh [6] [8], [9], [10], dan [11]. Penelitian tentang fenomena pegas kembali dilakukan oleh [6] dengan menganalisis elemen struktural kendaraan dengan baja berkekuatan tinggi, penerapan material ini secara signifikan mengurangi massa kendaraan sambil mempertahankan kekuatan dan daya tahannya yang tinggi. Metode kompensasi virtual mempercepat pengiriman hasil yang akurat. Kompensasi *v-dies bending* dianalisis dengan memanfaatkan perangkat lunak aplikasi yang telah divalidasi dengan prototipe mati. Oleh karena itu, deformasi pegas menjadi masalah yang kritis, terutama untuk baja HSS dengan geometri yang kompleks [6]. Penelitian lanjutan terekait dengan tema *spring-back* pada proses *U-bending* dilakukan menggunakan baja lembaran dengan melakukan simulasi metode elmen hingga. Proses *bending* baja lembaran disimulasikan menggunakan perangkat lunak FEM-ANSYS. Hasil simulasi proses *bending* sudut bengkok baja lembaran diketahui bahwa sudut *spring-back* terkait dengan radius tekukan yang nilainya *relative* terhadap R/t, serta jarak *bending punch* dan *dies* [8]. Penelitian lanjutan tentang *spring-back material* dilakukan oleh [9]. Penelitian menggunakan material B210P1 dengan ketebalan 1.6 mm. Material ini memiliki *yield strength* 249 MPa, *tensile strength* 413MPa, dan *elongation* 38.23 %. Hasil penelitian menunjukkan bahwa *spring-back* terkonsentrasi pada *area bending* [9]. Phanitwong et al., 2013 melakukan penelitian efek geometri bagian pada fitur *spring-back/pring-go* dalam proses *U-bending*. Penelitian dilakukan dengan melakukan simulasi FEM dengan menggunakan material aluminium A1100-O. Peningkatan *radius dies* dan *punch* menyebabkan peningkatan karakteristik *bending* dari *zona bending allowance*, tetapi penurunan karakteristik *bending* juga terjadi pada bagian lurus dari bagian bawah benda kerja. *Spring-back* material meningkat saat jari-jari *dies* dan *punch* bertambah. Ketebalan benda kerja mengakibatkan penurunan karakteristik lentur pada radius *punch*, serta penurunan karakteristik reverse *bending* pada benda kerja di bawah *punch*. Secara umum *spring-back* material akan meningkat seiring dengan penurunan ketebalan benda kerja. Hasil simulasi FEM yang divalidasi oleh percobaan laboratorium menunjukkan bahwa kesalahan sudut lengkung U dibandingkan dengan hasil percobaan laboratorium adalah sekitar 2% [10].

Wahed et al. melakukan penelitian lanjutan dengan melakukan optimasi *V-dies bending* menggunakan baja paduan Ti-6Al-4V. Penelitian difokuskan untuk mendapatkan *spring-back minimum* dengan mengoptimalkan parameter proses yaitu temperatur, kecepatan *punch* dan waktu penahanan. Penelitian dilakukan dengan menggunakan *array orthogonal Taguchi* (L9), simulasi metode emen hingga pada *V-bending* dan divalidasi dengan eksperimen. Secara bersamaan, simulasi faktorial penuh (L27) dilakukan dan metode permukaan respons telah diterapkan untuk mempelajari dampak parameter proses dan kemudian dioptimalkan dengan menggunakan algoritma genetika. Berdasarkan hasil eksperimen, ANOVA diterapkan untuk mengetahui pengaruh parameter proses individu dalam meminimalkan *spring-back*. Selain itu, hasil simulasi elemen hingga ditemukan sesuai dengan hasil eksperimen. Dari hasil ANOVA, kontribusi persentase dari masing-masing parameter proses menunjukkan bahwa suhu merupakan parameter proses yang paling dominan diikuti dengan waktu penahanan dan *punch speed* untuk mendapatkan *spring-back* minimum. Pada saat suhu meningkat, kekuatan luluh menurun dan karenanya *springbok* kembali menurun secara drastis [11].

Berbeda dengan beberapa penelitian yang sudah dilakukan sebelumnya, penelitian ini difokuskan pada analisis *spring-back* dan *spring-go* pada proses penekukan material *galvanized steel* (SGCC) dengan tebal 0.8 mm. Metode *bending* yang digunakan menggunakan *v-dies bending* yang

divariasikan pada sudut *punch*, kedalaman dan bukaan *V-dies*. Penelitian penelitian ini menggunakan metode eksperimental dengan menggunakan empat *variable input* yaitu, sudut *punch*, kecepatan *punch* dan gaya *bending*. Penelitian ini bertujuan untuk menganalisis pengaruh *variable input* terhadap *variable output* yaitu fenomena *spring-back* dan *spring-go*.

2. METODOLOGI

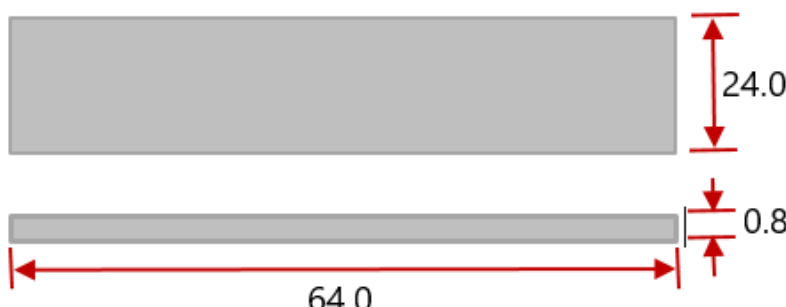
2.1. Alat dan bahan

Penelitian ini menggunakan material baja lembaran JIS G-3302 SGCC *galvanized* dengan ketebalan 0.8 mm. Material SGCC diproduksi oleh *PT International Corporation* dengan nomor *coil* CSV4796A. Material JIS G-3302 SGCC memiliki ketahanan karat yang bagus sehingga saat ini banyak digunakan pada *industry automotive*. Karakteristik mekanikal dan komposisi kimia material SGCC mengacu pada standar JIS G-3302 JIS G-3302 [12]. Karakteristik mekanikal dan komposisi kimia material SGCC yang digunakan tersaji pada **Tabel 1**.

Tabel 1. Sifat mekanik dan komposisi kimia *steel sheet galvanize* [13]

Spesifikasi	Sifat-sifat mekanik				Komposisi kimia (%)			
	T. S. (N/mm ²)	Y. P. (N/mm ²)	Elong. (%)	Coating Thic. (μm)	C	Mn	P	S
JIS G-3302	≥ 270	≤ 205	≥ 80.0	≥ 11.2	≤ 0.15	≤ 0.60	≤ 0.04	≤ 0.05
CSV4996B*	337	227	44	12.75	0.0364	0.194	0.002	0.0043

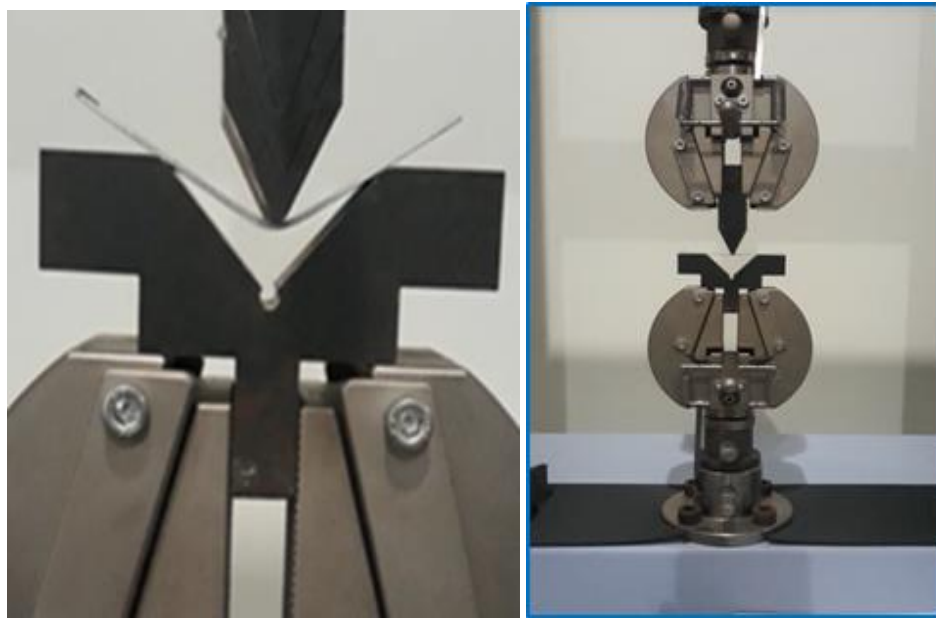
Pada persiapan sample lembaran baja SGCC dengan ketebalan 0.8 mm ukuran 1219 mm x 2438 mm dan dipotong menggunakan mesin *shearing* dengan ukuran panjang dan lebar masing-masing 64 x 24 mm. Setiap parameter dibuat masing-masing 2 unit. Hal ini untuk mengetahui konsistensi *variable output* yang diharapkan. Bentuk geometri sample dan dimensi terjadi pada **Gambar 1**:



Gambar 1. Bentuk geometri sample dan dimensi

V-dies bending diproduksi dengan menggunakan proses *wire cut EDM*. Material menggunakan material SKD-11 dengan proses akhir *hardening* mencapai kekerasan 55-65 HRC. Desain dies *V-bending* dibuat dalam dua tipe dengan bukan/lebar dies dan ketinggian yang berbeda. Pada sisi yang berbeda, *punch-dies* dibuat dalam 3 bentuk sudut *bending* dan menggunakan *radius bending* R1.0 mm. Ketiga sudut *bending* pada *punch-dies* berturut-turut adalah 40°, 50°, dan 60°. **Gambar 2** menunjukkan menunjukkan proses *bending* menggunakan dies *V-bending*.

Kualitas hasil *bending* sangat dipengaruhi oleh *radius bending* dari *punch* yang digunakan. *Radius bending* suatu *punch* berpengaruh dari dimensi akhir benda kerja dan juga bisa menyebabkan keretakan material. *Radius bending* yang terlalu kecil akan mengakibatkan keretakan benda kerja, sedangkan jika terlalu besar akan berdampak pemborosan material. *Punch* dan *V-dies* didesain dengan *radius bending* 1.0 mm. Dalam menentukan *radius bending* harus memperhatikan sifat mekanik dan ketebalan material yang akan dipakai. **Tabel 2**. Minimum radius V-dies bending untuk sudut di bawah 120° menunjukkan referensi penggunaan minimum radius V-dies pada material yang memiliki *tensile strength* sampai 640 N/m² [10].

**Gambar 2.** Proses V-bending galvanish material**Tabel 2.** Minimum radius V-dies bending untuk sudut di bawah 120°

Tensile strength [N/mm ²]	Ketebalan material (s), mm					Bending direction (Arah penekukan)
	1,0	> 1 - 1,5	> 1,5 - 2,5	> 2,5 - 3,0	> 3,0 - 4,0	
Sampai 390	1,0	1,6	2,5	3,0	5,0	Transverse
	1,0	1,6	2,5	3,0	6,0	Longitudinal
>390 - 490	1,2	2,0	3,0	4,0	5,0	Transverse
	1,2	2,0	3,0	4,0	6,0	longitudinal
400 - 640	1,6	2,5	4,0	5,0	6,0	Transverse
	1,6	2,5	4,0	5,0	8,0	Longitudinal

2.2. Perhitungan Gaya Bending

Perhitungan *bending force* (F_b) dilakukan untuk menentukan kebutuhan tonase mesin *bending* dan penyetelan gaya pada mesin produksi. Minimum *bending force* untuk lebar dan ketebalan rasio lebih besar 10 dihitung dengan peramaan 1 dan jika kurang dari 10 dihitung dengan persaman 2 [14]:

Perhitungan gaya *bending* untuk $w/s \geq 10$:

$$F_b = \frac{b_s s^2 R_m}{w} \quad (1)$$

Perhitungan gaya *bending* untuk $w/s < 10$:

$$F_b = \left(1 + \frac{4,s}{w}\right) \frac{b_s s^2 R_m}{w} \quad (2)$$

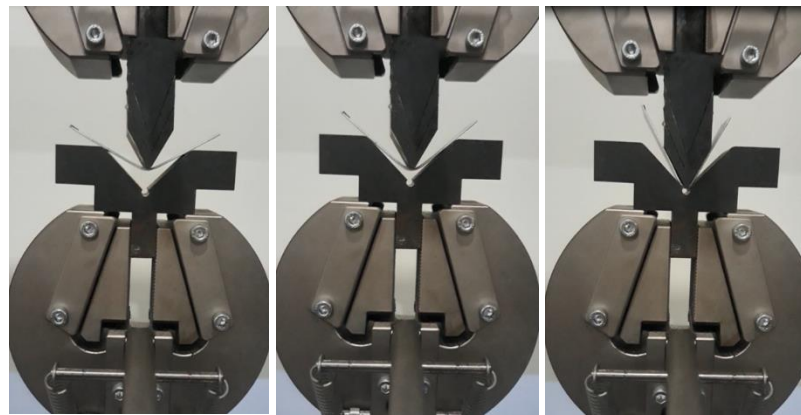
Perhitungan kerja *bending*:

$$W_b = x \cdot F_b \cdot h \quad (3)$$

di mana b_s adalah lebar pada sisi *bending* benda kerja (mm), s merupakan ketebalan material (mm), R_m merupakan tensile strength (N/mm²), w adalah lebar *V-dies* (mm). W_b adalah kerja *bending* dalam satuan Joule sedangkan konstanta x adalah konstanta ketidakrataan gaya antara 0,3 - 0,6 [15]. Nilai konstanta ketidakrataan dipengaruhi oleh persyaratan penekukan dan penaturan mesin *bending*. Variabel h merupakan perpindahan titik *bending* akibat gaya yang diberikan yang merupakan tinggi material saat dimulainya proses *bending* sampai *v-dies punch* berhenti dalam satuan m. Ekperimen ini menggunakan gaya *bending* dengan variasi 6500 N, 7000 N dan 7500 N.

2.3. Parameter Uji Bending

Pengujian *bending* bertujuan untuk mengevaluasi pengaruh parameter *bending* terhadap *spring-back* material dari material SGCC yang ujian. Pengujian eksperimental proses *bending* dilakukan dengan menggunakan SHIMADZU UTM-Universal Testing Machine dengan model UTM AGS-X 10 kN STD E200V dan memiliki kapasitas 10 kN. Pengujian bekerja dengan menekan sample sampel uji dengan kecepatan dan gaya yang sudah ditetapkan serta suhu ruangan dikontrol pada 25°C. Pengujian dihentikan setelah melewati gaya *bending* yang sudah ditetapkan. Proses dan skema pengujian ditunjukkan pada **Gambar 3**.



Gambar 3. UTM dan proses *bending*

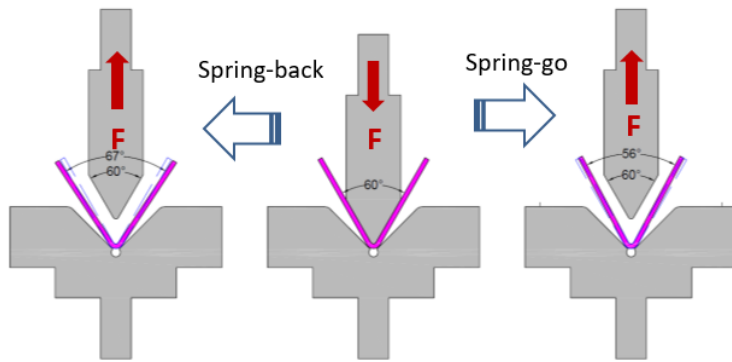
Penelitian ini menggunakan 4 parameter input yang nilainya disusun secara acak. Empat parameter input yang digunakan dalam penelitian ini adalah, *V-die opening L* (mm), *punch angel φ* (°), *punch speed V_b* (mm/menit) dan *bending force* (N). Nilai dari *v-die opening* yang digunakan yaitu 30.0 mm dan 35.0 mm. Untuk *parameter input punch angle* digunakan nilai 30°, 45°, dan 60°; *punch speed* 30 mm/menit, 40 mm/menit dan 50 mm/menit; *bending force* dengan nilai inut 6500 N, 7000 N, dan 7500 N. Detail enam parameter *V-dies bending* untuk pengujian ini tersaji pada **Tabel 3**.

Tabel 3. Enam parameter V-dies bending

Parameter <i>Bending</i>	Nilai parameter <i>V-bending</i>					
	S1	S2	S3	S4	S5	S6
<i>Die opening L</i> (mm)	30	30	30	35	35	35
<i>Punch angel φ</i> (°)	40	50	60	40	50	60
<i>Punch speed V_b</i> (mm/menit)	30	40	50	30	40	50
<i>Bending Force</i> (N)	6500	7000	6500	7500	7500	7000

2.4. Fenomena Spring-back dan Spring-go

Spring-back dan *spring-go* adalah fenomena proses pembentukan material metode dingin. *Spring-back* dan *spring-go* terjadi karena adanya elastisitas bahan selama pembentukan. Karakteristik *spring-back* dipengaruhi oleh jenis material benda kerja. *Spring-back* terjadi pada setiap pembentukan material menggunakan metode dingin seperti pada *bending*, *roll forming* dan *roll bending* [15]. Fenomena *spring-back* terjadi pada saat perubahan sudut yang lebih besar dari pada sudut sebelum gaya *bending* dilepaskan sedangkan *spring-go* terjadi pada saat prubahan sudut yang lebih kecil terjadi setelah gaya *bending* dilepaskan. Kedua fenomena *bending* ini, sangat berdampak pada presisi dimensi dan bentuk geometris benda kerja. Fenomena *spring-back* dan *spring-go* merupakan salah satu faktor kunci yang menentukan kualitas elastisitas, manakan biaya produk dan menurunkan efisiensi proses manufaktur [16]. **Gambar 4** menunjukkan *spring-back* factor, k_R yang merupakan perbandingan antara sudut *bending* pada *dies* (α_1), dengan sudut *bending* benda kerja setelah *spring-back* (α_2) atau setelah *spring-go* (α_3).

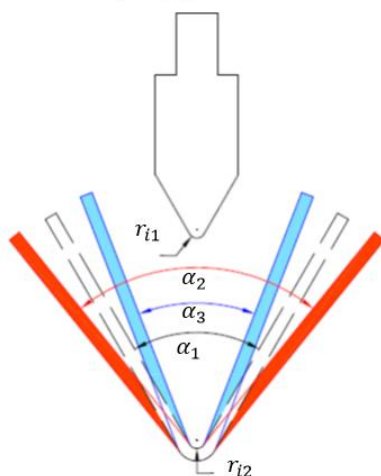
**Gambar 4.** Fenomena spring-back dan spring-go pada proses V-bending

Besarnya *spring-back* dan *spring-go* factor dihitung dengan menggunakan persamaan 4 dan 5 [15][17][18].

$$k_R = \frac{\alpha_1}{\alpha_2} = \frac{r_{i1} + 0,5s}{r_{i2} + 0,5s} \quad (4)$$

$$k_R = \frac{\alpha_3}{\alpha_1} = \frac{r_{i1} + 0,5s}{r_{i2} + 0,5s} \quad (5)$$

di mana r_{i1} dan r_{i2} berturut-turut merupakan *radius dies* dan *workpieces*. Besaran nilai *spring-back* dan *spring-go* faktor adalah antara 0 sampai 1 ($0 \leq k_R \leq 1$). Nilai $k_R = 1$ menginformasikan tidak ada *spring-back* atau *spring-go* pada benda kerja, sedangkan $k_R = 0$ mengindikasikan benda kerja memiliki elastis sempurna [17]. **Gambar 5** menunjukkan fenomena elastisitas material dan pada proses *V-dies bending*.

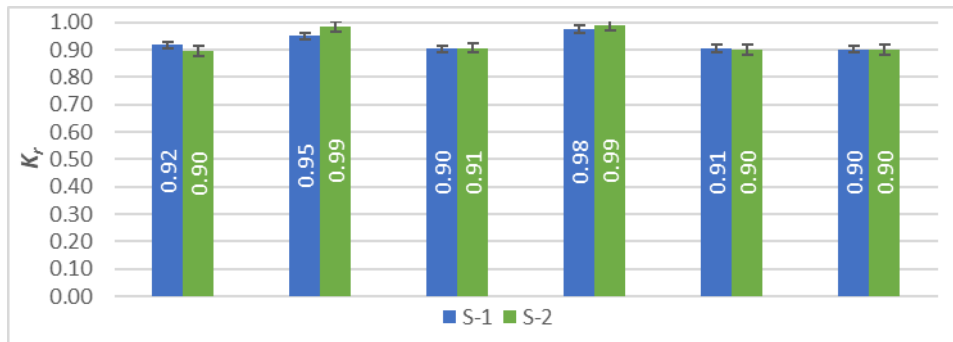
**Gambar 5.** Elastisitas material dan fenomena proses V-bending (α_1 sudut bending, α_2 fenomena spring-back, α_3 fenomena spring-go)

3. HASIL DAN DISUKSI

3.1. Analisis Gaya dan Kerja Bending

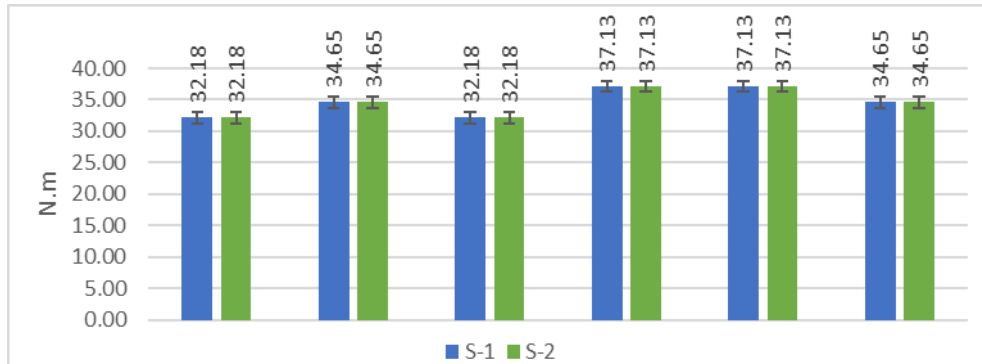
Perhitungan minimum *force bending* dilakukan berdasarkan beberapa parameter yang ditentukan dalam persamaan 1 dan 2. Lebar sisi *bending* pada penelitian ini 24 mm dan menggunakan material SGCC galvanized steel (JIS G-3303) dengan ketebalan material 0.8 mm. Proses *V-bending* dilakukan secara longitudinal (membujur) menggunakan dies *V-bending* beradius 1,0 mm dan lebar *V-dies* 30 mm. Dengan menggunakan material SGCC galvanized steel (JIS G-3303) memiliki tensile strength 337 N/mm² maka minimum gaya penekukan (*Force bending*) dihitung menggunakan persamaan 1. Penggunaan persamaan 1 dikarenakan perbandingan lebar sisi *bending* dengan ketebalan material melebihi 10 ($w/s > 10$) seperti yang dijelaskan oleh [14] [15]. Persamaan 2 digunakan untuk menghitung minimum gaya *bending* (*bending force*) ketika perbandingan lebar sisi *bending* dengan ketebalan material kurang atau sama dengan 10 ($10 \leq w/s$) [14] [15]. Berdasarkan persamaan 1 maka dihasilkan minimum gaya *bending* yang dibutuhkan adalah 216 N. Pada

pelaksanaanya, *force bending* yang digunakan adalah 6500 N, 7000 N dan 7500 N sehingga sudah memenuhi kriteria pada persamaan 1. Dari data pengujian *v-bending* dengan menggunakan 6 parameter dengan masing masing sebanyak dua sample didapatkan data bahwa sample no.2 dari parameter ke-4 memeliki nilai *spring-back*, K_r yang paling besar yaitu mendekati 1. Nilai K_r dihitung dengan menggunakan persamaan 4 atau 5. Hasil pengukuran sudut hasil *bending* menunjukkan nilai α_1 sebesar $K_r = \frac{\alpha_1}{\alpha_2} = \frac{40}{40,42} = 0.99$. **Gambar 6** menunjukkan data faktor *spring-back* dan *spring-go* untuk ke enam parameter sample uji V-dies *bending* yang diujikan.



Gambar 6. Faktor *spring-back* dan *spring-go* pada enam parameter V-bending yang diujikan.

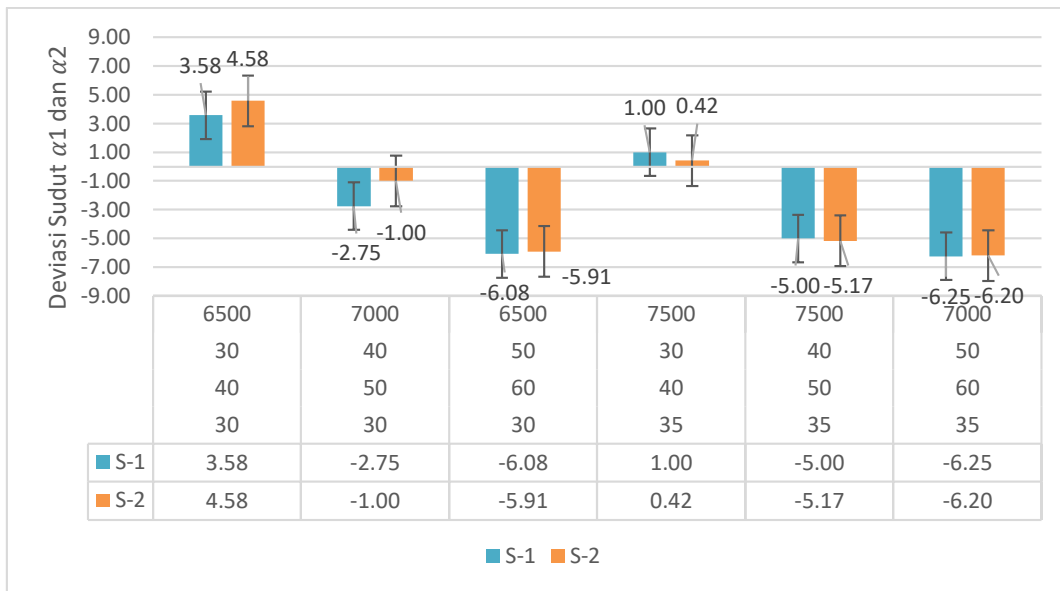
Keja *bending* (*work bending*) dihitung menggunakan persamaan 3. Dengan model V-dies dengan kedalaman *bending* 15 mm dan 17.1 mm. Konstanta ketidakrataan, x ditetapkan sebesar 1/3 sehingga nilai *work bending* untuk sampel 1 adalah 32.2 N.m (32.2 Joule). Hasil perhitungan *work bending* untuk semua sample tersaji pada **Gambar 7**.



Gambar 7. Kerja bending untuk semua sample yang diujikan

3.2. Analysis of *spring-back* dan *spring-go*

Hasil proses V-bending pada sample satu terlihat munculnya fenomena *spring-back* material. Sample satu menggunakan parameter die opening 30 mm, *punch* angel 40°, *punch* speed 30 mm/menit dan *bending force* 6500 N. Fenomena *spring-back* juga terjadi pada sample no. 4 dengan menggunakan parameter die opening 40 mm, *punch* angel 40°, *punch* speed 30 mm/menit dan *bending force* 7500 N. Fenomena *spring-go* terjadi pada empat sampel lainnya yaitu pada sample ke-2. Ke-3 ke-5 dan ke-6. Dari data eksperimen ini telihat bahwa semua sample yang diproses dengan menggunakan *punch* angel 50° dan 60° mengalami fenomena *spring-go*. Terkait dengan *variable punch speed* sebagai *variable input* dapat dianalisis bahwa fenomena *spring-back* terjadi pada pengaturan *punch speed* 30 mm/menit sedangkan pada pengaturan *punch speed* 40 mm/menit dan 50 mm/menit terjadi fenomena *spring-go*. Kedua fenomena ini sesuai dengan analisis fenomena *spring-back* dan *spring-go* yang dilakukan oleh [19] yaitu pada saat sudut *bending* (*punch angle*) naik maka *spring-go* juga akan naik. Pada kedua variable input lainnya yaitu bukaan *dies* dan *force bending*, fenomena *spring-back* dan *spring-go* terjadi pada semua nilai yang diberikan. Hasil analisi *spring-back* dan *spring-go* terjadi pada **Gambar 8**.



Gambar 8. Fenomena spring-back dan *spring-go* material SGCC galvanize steel sheet

4. KESIMPULAN

Berikut beberapa ringkasan hasil penelitian mengenai *spring-back* dan *spring-go* pada variasi sudut *v-bending* menggunakan galvanized SGCC steel sheet:

- Berdasarkan penelitian tentang proses *bending* menggunakan *V-dies bending* untuk proses *bending* dan material lembaran baja galvanis SGCC, telah ditentukan pengaruh bukaan *v-dies bending*, sudut *punch*, kecepatan *punch*, dan gaya *bending* pada *spring-back* dan *spring-go*.
- Pada pengujian *V-die bending* dengan sudut 40°, 50°, dan 60°, nilai *spring-back* berbanding lurus dengan besar sudut *V-die bending*. Fenomena serupa terjadi pada pengujian *V-dies bending* dengan menggunakan kecepatan *bending* 30, 40 dan 50 mm/menit.

Untuk memberikan data yang presisi, penelitian lanjutan akan dilakukan dengan menggunakan metode experimental Taguchi.

AUTHOR'S DECLARATION

Authors' contributions and responsibilities

The authors contributed significantly to the conception and design of the study. The authors were responsible for data analysis, results interpretation, and discussion. The authors read the final manuscript and gave their approval.

Availability of data and materials

The authors have made all data available.

Competing interests

The authors declare that they have no competing interests.

ACKNOWLEDGMENT

The author is grateful to Universitas Buana Perjungan Karawang for funding this research in its entirety and to PT Isaka Alindo Nusantara for providing the testing material.

REFERENCE

- [1] BSN, "Galvanisasi (hot dip galvanized) pada besi dan baja fabrikasi - Spesifikasi dan metode pengujian," 2004.
- [2] S. Sukarman *et al.*, "Optimization of Tensile-Shear Strength in the Dissimilar Joint of Zn-Coated Steel and Low Carbon Steel," vol. 3, no. 3, pp. 115–125, 2020.
- [3] Z. C. Lin and D. A. Y. Chang, "Selection of sheet metal bending machines by the PRISM-inductive learning method," *J. Intell. Manuf.*, vol. 7, no. 4, pp. 341–349, 1996.

- [4] M. Özdemir, H. Dilipak, and B. Bostan, “Numerically modeling spring back and spring go amounts and bending deformations of Cr-Mo alloyed sheet material,” *Mater. Test.*, vol. 62, no. 12, pp. 1265–1272, 2020.
- [5] V. Gautam and D. R. Kumar, “Experimental and numerical investigations on springback in V-bending of tailor-welded blanks of interstitial free steel,” *Proc. Inst. Mech. Eng. Part B J. Eng. Manuf.*, vol. 232, no. 12, pp. 2178–2191, 2018.
- [6] L. Troive, P. Bałon, A. Świątoniowski, T. Mueller, and B. Kiełbasa, “Springback compensation for a vehicle’s steel body panel,” *Int. J. Comput. Integr. Manuf.*, vol. 31, no. 2, pp. 152–163, 2017.
- [7] D. K. Leu and Z. W. Zhuang, “Springback prediction of the vee bending process for high-strength steel sheets,” *J. Mech. Sci. Technol.*, vol. 30, no. 3, pp. 1077–1084, 2016.
- [8] Y. Zhang and G. Cui, “Finite element simulation of springback in sheet metal bending,” *Proc. - 2009 Int. Conf. Inf. Eng. Comput. Sci. ICIECS 2009*, pp. 1–4, 2009.
- [9] K. Hu and H. Zhang, “A springback reduction method for sheet metal bending,” *Proc. 2011 Int. Conf. Mechatron. Sci. Electr. Eng. Comput. MEC 2011*, pp. 617–620, 2011.
- [10] W. Phanitwong, A. Sontamino, and S. Thipprakmas, “Effects of part geometry on spring-back/spring-go feature in U-bending process,” *Key Eng. Mater.*, vol. 549, pp. 100–107, 2013.
- [11] M. A. Wahed, A. K. Gupta, V. S. R. Gadi, K. Supradeepan, S. K. Singh, and N. Kotkunde, “Parameter optimisation in V-bending process at elevated temperatures to minimise spring back in Ti-6Al-4V alloy,” *Adv. Mater. Process. Technol.*, vol. 6, no. 2, pp. 430–444, 2020.
- [12] JIS G 3302, “JIS G 3302 Hot-dip zinc-coated steel sheet and strip.” Japanese Industrial Standard, 2007.
- [13] S. Sukarman, A. Abdulah, A. D. Shieddieque, N. Rahdiana, and K. Khoirudin, “OPTIMIZATION OF THE RESISTANCE SPOT WELDING PROCESS OF SECC-AF AND SGCC GALVANIZED STEEL SHEET USING THE TAGUCHI METHOD,” *SINERGI*, vol. 25, no. 3, pp. 319–328, 2021.
- [14] I. Suchy, *Handbook of Die Design*, Second. McGraw-Hill, 2006.
- [15] T. Altan, *Metal Forming Handbook*, no. 5. Springer Verlag Berlin, 1998.
- [16] H. Yang, H. Li, Z. Zhang, M. Zhan, J. Liu, and G. Li, “Advances and trends on tube bending forming technologies,” *Chinese J. Aeronaut.*, vol. 25, no. 1, pp. 1–12, 2012.
- [17] G. M. S. Ahmed, H. Ahmed, M. V. Mohiuddin, and S. M. S. Sajid, “Experimental Evaluation of Springback in Mild Steel and its Validation Using LS-DYNA,” *Procedia Mater. Sci.*, vol. 6, no. Icmpe, pp. 1376–1385, 2014.
- [18] M. Osman, M. Shazly, A. El Mokaddem, and A. S. Wifi, “Springback prediction in V-die bending : modelling and experimentation,” *J. Achiev. Mater. Manuf. Eng.*, vol. 38, no. 2, pp. 179–186, 2010.
- [19] K. Özdin, E. Büyüük, F. Abdalov, H. Bayram, and A. Çini, “Investigation of spring-back and spring-go of AISI 400 S sheet metal in ‘V’ bending dies depending on bending angle and punch radius,” *Appl. Mech. Mater.*, vol. 532, pp. 549–553, 2014.